

秘密

全国海洋綜合調查報告

第一册

中华人民共和国
科学技术委员会
海洋组海洋綜合調查办公室編

一九六四年出版

秘密

全国海洋綜合調查報告

第一册

1958.9—1960.6

中国近海的自然环境

調查方法和仪器

中华人民共和国
科学技术委员会 海洋組海洋綜合調查办公室編

一九六四年出版

目 录

第一章 中国近海的自然环境

引 言	3
第一节 渤、黄、东海近海的自然环境	3
一 概述	3
(一) 地理位置	3
(二) 海底地形	4
二 風場	7
(一) 風場分布	8
(二) 月平均气流場	16
(三) 結語	17
三 降水及徑流	17
(一) 降水量	17
(二) 徑流量	20
(三) 径流量与流域降水量之間的关系	21
四 沿岸台站的气温、相对湿度和蒸发	22
(一) 气温	22
(二) 相对湿度	22
(三) 蒸发	25
五 水系和海流	25
第二节 南海近海的自然环境	28
一 概述	28
(一) 地理位置	28
(二) 海底地形	29
二 風場	30
(一) 風場分布	30
(二) 月平均气流場	34
(三) 結語	35

三 降水及徑流	35
(一) 降水量.....	35
(二) 徑流量.....	37
(三) 徑流量与流域降水量之間的关系.....	38
四 沿岸台站的气温、相对湿度和蒸发	38
(一) 气温.....	38
(二) 相对湿度.....	38
(三) 蒸发	40
五 水系和海流	41
参考文献.....	41

第二章 調查方法和仪器

引言	45
第一节 調查船及船位的測定.....	46
一 調查船	46
二 船位的測定	48
第二节 测深	48
第三节 采水及盐度的測定	49
一 采水	49
二 盐度的測定	50
第四节 水溫的觀測	50
一 表层水溫的觀測	50
二 表层以下各层水溫的觀測.....	51
第五节 海流的觀測	55
一 表层海流的觀測	56
二 表层以下各层海流的觀測.....	57
第六节 水色及透明度的觀測.....	59
第七节 波浪的觀測	59
第八节 海面气象的觀測	60
一 气温和湿度的觀測	60
二 測風	60

三 气压	61
四 云的观测	61
五 能见度和大气现象的观测	61

附表、附图

說 明

1959 年渤海盛行風逐月变化	附表 1—1
1959 年北黃海盛行風逐月变化	1—2
1959 年南黃海盛行風逐月变化	1—3
1959 年东海盛行風逐月变化	1—4
渤、黃、东海平均風速逐月变化	1—5
1959 年广东近海盛行風逐月变化	1—6
1959 年北部灣盛行風逐月变化	1—7
南海近海平均風速逐月变化	1—8
渤、黃、东海等深綫图	附图 1—1
渤、黃、东海各主要河流徑流量年变化	1—2
渤、黃、东海月平均气流場	1—3
南海近海等深綫图	1—4
珠江、韓江徑流量逐月变化	1—5
南海近海月平均气流場	1—6

第一章

中国近海的自然环境

題目負責人

山东海洋学院 伍伯瑜

引　　言

中国近海处于大陆边缘，受周围自然环境因子的影响较大，不但影响的因素多，并且这些影响因子本身的变化也较复杂。譬如，由于海底地形的起伏，将使海流发生转向，当海水从较深处流向海底隆起地区时，将产生右旋的流动，反之将成左旋流动（均指在北半球）。另一方面海底地形的起伏，对波浪的传播也有很大影响，如当波浪从外海深水处传播到近海浅水处时，其波速变小，波长缩短而波高则增大，同时，波峰线亦将逐渐与等深线平行。其次，风作用于浅海不但能产生波浪和引起漂流，并能加强海水的混合作用。在冬季风（风力较大）的作用下，海水的混合作用增强，使各水文、化学要素的分布较为均匀；而夏季表层海水受热显著，这时，微风就易于产生上均和层。盛行风对海水的流动亦有一定影响，如台湾东部海区，夏季多西南风，促使黑潮位置移离岸边；冬季多东北风，又使其位置移靠岸边。而由于地形和盛行风的综合作用，则易于产生坡度流、升降流等。近岸海区由于入海径流的影响，使得各种海洋学要素的分布随着径流量的变化而不同，尤其是海水中营养盐类的分布更为明显。综上所述，可以看出，了解调查海区自然环境因子的情况，对讨论海洋学各要素的分布及变化是颇为重要的。本章目的；就在于介绍中国近海的一些自然环境因子的分布和变化情况；其中着重讨论海上风场及入海径流量两部分。

自然环境因子按性质分可以有地理的、地质地貌的、气象的和水文的等几方面。亦可按其范围分为上界面的、下界面的和边界面的。下界面是指地理位置、海底地形和底质情况（关于底质部分另有专门章节叙述）；上界面是指海面上的气象，如风场、气温、湿度、降水和蒸发等，其中气温、湿度、降水和蒸发，由于缺乏足够的海上观测资料，因此，我们是以沿岸及岛屿气象台站的资料作为叙述的依据，应该指出，这些因子的分布情况与海上实际情况的关系如何，尚待进一步研究。边界面主要是指海陆交界处各河流入海径流量的逐月变化，海与海或洋界面上的海水交换情况，后者将在其他章节中详细提到，本章仅作一般介绍。

第一节　渤、黄、东海近海的自然环境

一　概述

(一) 地理位置

我国的渤、黄、东海区位于太平洋西部边缘。海区辽阔，资源丰富，其北部及西

部与我国的辽宁、河北、山东、江苏、浙江和福建等省接壤。东北濒临朝鮮半島，并經对馬海峡与日本海相通。东侧由北而南，以九州島和琉球群島等为界，与太平洋隔邻。南部以台灣海峡与南海沟通。渤、黃、东近海調查海区的范围：南起北緯 28° ，北至北緯 41° ，东达东經 $124^{\circ}30'$ ，西止于东經 $117^{\circ}40'$ 。以下分区叙述。

渤海是我国最北部的內海。东部以辽东半島的老铁山与山东半島北岸的蓬萊联綫为界，与黃海北部相通，在这一联綫上有庙島列島（包括大小島屿十五个）分布其中，称渤海海峡，其寬度仅 55 浬左右。东北、北和西北与辽宁省相邻，西部与河北相接，而南部則以山东半島北岸为界。渤海面积約为八万平方公里，比两个台灣省还要大些，占渤、黃、东近海总面积的 16% 左右。海区呈葫芦瓢状，北部狭窄而南部寬闊。渤海有三大灣：北部是辽东灣，有辽河，繞阳河，大、小凌河等河流注入；在南部以黄河口为界，其东面为萊州灣，有著名的黃河，小清河，濰河及北胶河等注入，其西面为渤海灣，有海河和灤河等流入。渤海四邻大陆多为平原地区。

黃海位处中国大陆与朝鮮半島之間，外形略似倒“S”状；以成山头与朝鮮的长山串連綫为界，其北称为北黃海，其南称为南黃海。黃海的边界，北接辽宁，东邻朝鮮半島，西北端經渤海海峡与渤海相通，西濱山东半島及江苏沿岸，南面以长江口北岸至朝鮮的济州島西北角連綫与东海为界；取这条綫为界的原因：一則是根据历史上习惯分法；更主要的是从海洋学的观点（水文分布和海底沉积物分布等）来看，在洪水季节（5—7月或 8 月）长江冲淡水以巨大流势冲向济州島，使这一綫南北的海洋学特征，有显著不同；同时这样分法，亦将苏北沿岸水全部納入黃海。黃海調查海区（东經 $124^{\circ}30'$ 与我国大陆之間海区）的面积約为二十八万平方公里，約占渤、黃、东近海面积的 57%。注入黃海調查海区的河流，北面有鴨綠江，大洋河及碧流河等，南黃海西部沿岸有新沂河，新沂河，灌漑总渠和射阳河等。

东海是一个較为开闊的边缘海。北接黃海，东隔琉球群島及我国的台灣等，与太平洋相通，西瀕浙江，福建，南以台灣海峡与我国南海沟通，总面积（約七十万平方公里）远較黃海为大。但本次調查范围只限于北緯 28° 以北，东經 $124^{\circ}30'$ 以西的范围，这一調查范围的面积仅为十三万平方公里左右，比浙江省稍大一些，占渤、黃、东近海总面积的 27% 左右。东海西濱的浙江和福建沿岸均屬丘陵地帶，沿岸島屿星罗棋布，岸綫曲折，多优良港灣。注入东海的較大河流，在黃、东海交界处有太平洋西部最大河流——长江，其次为錢塘江，曹娥江，甬江，灵江和甌江等。

（二）海底地形

調查海区是紧邻大陆的淺海。各海区的海底地形均自海岸向外下傾。沿岸为多山地区（如山东半島沿岸）的近海，其海底坡度較大。在江河口附近，由于江河携帶大量泥沙入海而造成的淺滩区域，海底坡度則較小，以长江口、黃河口及苏北沿岸外海

最为显著。调查海区的海底坡度（因坡度很小时，用角度表示和用角的正切表示近似相等，这里用后者表示），一般均在 7.0×10^{-4} 以内（如表 1—1 所示）。渤海海峡北部，即老铁山水道北端，坡度最大达 64×10^{-4} ；苏北浅滩一带坡度最小仅 0.6×10^{-4} 。以下分述各海区海底地形。

表 1—1

渤、黄、东海近海各地区海底坡度

地 区	辽东半島东侧	辽东灣	渤海灣	萊州灣	黄河口外	渤海海峽南部	老铁山水道北部	山东半島北侧	荣成灣	荣成灣外 东經 123° 40 米深 以外	荣成灣 70 米深 以外	荣成灣 70 米深 以外	海州灣	苏北浅滩	杭州灣	浙东
坡度 ($\frac{\Delta H}{\Delta L}$)	8.53 10^{-4}	2.85 10^{-4}	2.69 10^{-4}	1.94 10^{-4}	3.58 10^{-4}	3.75 10^{-4}	64.35 10^{-4}	6.83 10^{-4}	17.82 10^{-4}	1.96 10^{-4}	17.56 10^{-4}	0.73 10^{-4}	1.77 10^{-4}	0.60 10^{-4}	1.49 10^{-4}	6.91 10^{-4}
	x	x	x	x	x	x	x	x	x	x	x	x	x	x	x	x

〔 ΔH 表示垂直距离， ΔL 表示水平距离，均以米为单位。海底坡度以其正切值表示。〕

渤海北面接納辽河，南面接納黄河，两者均带来大量泥沙，造成南北两面坡度較緩，而东側入海河川較少，海底坡度較陡峭，根据地勢可以灤河口至老铁山西角連綫为界，其南有一地勢平淺东西走向的淺谷，称为渤海淺谷；其北有一南北向深度約 30 米的淺槽，称为辽东淺槽。渤海海峡北端坡度最大，比其南端約大 15 倍（見表 1—1），而渤海三大灣，坡度均甚小，渤海灣及辽东灣的坡度均在 2.7×10^{-4} 左右，萊州灣坡度更小，約 2.0×10^{-4} 。一般說來，渤海海底坡度均在 3.0×10^{-4} 至 4.0×10^{-4} 之間。

黃海海底地形，基本上是由岸向外下傾。从地勢看來，自北黃海西部往东至东經 124° ，再折向南，直至南黃海边缘（北緯 34° 附近），这一区域（50 米等深綫以外）的海底地勢平坦，为一“丁”字形帶状海底，一般称这一区域为“黃海槽”。辽宁沿岸与“黃海槽”之間海底坡度为 6.5×10^{-4} 左右，黃海西部海州灣一帶海底坡度为 1.8×10^{-4} 左右，苏北近海多沙滩，在五条沙地区，坡度最小仅 0.6×10^{-4} 左右，这一地区称为“苏北浅滩”。此外值得提出的是，在成山头的荣成灣外側，有一阶状海底地形，其大致趋势是：由荣成灣西邊往东至 35 米等深綫处，坡度为 18×10^{-4} 左右，但从 35 米至 40 米等深綫处，海底坡度急減为 2.0×10^{-4} 左右，而过了 40 米等深綫至 70 米等深綫处，其坡度又驟然增大达 18×10^{-4} 左右，再往东进入“黃海槽”以后坡度又降为 0.7×10^{-4} 左右，这样的阶状地形，在調查海区内尚屬少見。

东海的海底地形，总的趨勢是从北、西两面向东南方向下傾，形成一个类似半簸箕状的地形。近岸地区，海岸曲折，岛屿众多，地形較為复杂。在长江口外余山附近的海底坡度要較两侧大，这显然是河水冲刷所造成的。总的說來，近岸区地勢較陡，在东經 122° — 123° 之間坡度一般为 6.9×10^{-4} ，杭州灣內坡度只有 1.5×10^{-4} 左右，而在东經 123° 以东，坡度逐渐变小，并开始向东南方向下傾，其坡度約为 1.5×10^{-4} 。

从深度分布（附图 1—1）看來，渤、黃、东近海的等深綫分布是与岸綫平行的。整个調查海区深度是由西北向东南方向逐渐加深的，大部分海区深度均在 50 米以内，仅在东海区的个别地区（如北緯 28° ，东經 124° 附近）水深超过 80 米。各海区不同

深度所占水域面积及其比率如表 1—2 所示。

表 1—2 渤、黄、东近海各不同深度所占水域面积及其比率 面积单位:千平方公里

海区 项 目	深 度 (米)	0—10	10—20	20—30	30—40	40—50	50—60	60—70	70—80	80—90	90—100	合 计
渤海	面积	15.75	26.03	32.71	3.23	1.17	0.88					79.57
	%	19.8	32.8	41.1	4.0	1.4	0.9					100
黄海	面积	23.40	35.58	36.10	42.47	29.93	30.30	27.49	51.68			276.95
	%	8.3	12.9	13.0	15.4	10.8	11.0	9.9	18.7			100
东海	面积	14.96	12.36	8.39	11.10	24.62	17.36	14.07	14.23	9.58	1.43	128.10
	%	11.7	9.7	6.5	8.7	19.2	13.6	11.0	11.1	7.5	1.1	100

渤海深度最小，平均深度仅 18.7 米，渤海三大灣深度几乎均在 20 米以内，仅在辽东半島南部西側有一小匙状区域，水深在 50 米左右，而渤海海峡北端，水深可达 50 米左右。从表 1—2 可以看出，在渤海区，水深在 30 米以内者，所占水域面积为渤海面积的 94%，而 20 米以内者则占 53%。

黄海近海深度分布趋势是，东、南两面較深，而西、北两面較淺，“黄海槽”一带深度均在 50 米左右，且具有由北往南加深趋势，但到黄、东海交界处，深度又略为变小。黄海調查区平均深度为 40 米左右。从表 1—2 看出，水深在 50 米以内所占水域面积为黄海近海面积的 60%，其中 20 米以内者占 21%。

东海近海深度較渤、黄海大，平均深度約 46 米，等深綫分布趋势，在 60 米以內

均与岸綫平行，而 50 米以内等深綫則密集于离岸約 40 浩以內的水域。深度由西北向东南方向增大，在北緯 28°，东經 124° 附近深度可达 100 米左右，是渤、黄、东調查海区最深处。从表 1—2 看出，50 米以内所占水域面积为东海調查区的 56%，其中 20 米以内者占 21%。

总的看来，渤、黄、东近海 50 米以内深度所占水域面积为近海总面积的 66% 左右，其中 20 米以内者占 27%，而 80 米以外仅占 2%。各調查海区平均深度及面积比較如图 1—1 所示。

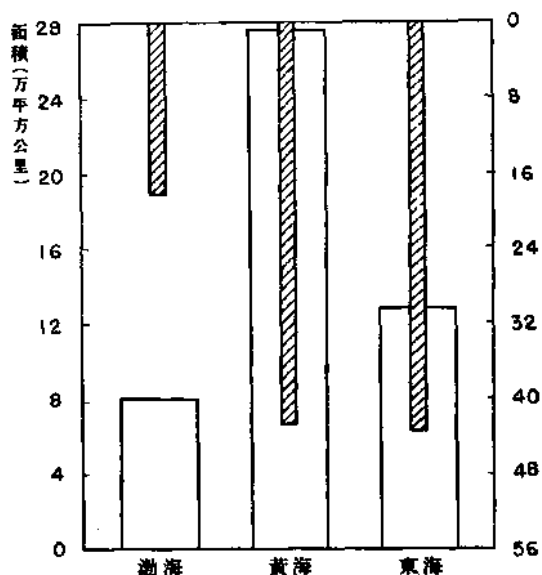


图 1—1 渤、黄、东近海平均深度及面积

二、風 場

中国属季风气候区域，近地面层大气之运行有着显著的季节变化，这是地面气压系统影响的结果；而影响中国（包括渤、黄、东近海）气候的地面气压系统主要有：冬季的蒙古高压和阿留申低压；夏季的北太平洋副热带高压和蒙古低压；此外赤道低气压带的南北移动对我国南部，尤其是南海区也颇有影响。蒙古高压于9月开始出现于唐努乌拉山一带，其后势力逐渐加强并向东移动，1月势力最强，2月以后势力又逐渐减弱，中心位置渐向西移，4月退至吉尔吉斯草原。阿留申低压与蒙古高压相对应，亦以1月为最深，但其对我国气候影响远不如蒙古高压显著，只是当其势盛时有促进蒙古高压东进之作用。在渤、黄、东海区，冬季诸月均为这一气压系统所控制。到了春季，由于太阳辐射加强，海陆温差效应日益显著，副热带高压的势力日臻强盛，这一时期是夏季气压系统代替冬季气压系统的过程。夏季蒙古低压已形成，而北太平洋副热带高压势力大为扩展，虽其中心位置仍在北美西南海洋面上，但其楔端引伸向西，侵入我国东南沿海诸省，同时赤道低气压带北移，几乎及于南海南部，这样就形成了夏季的天气形势。到了秋初的9月，蒙古地区又为蒙古高压所控制，其势力又向东南扩展，夏季气压系统遂逐渐又为冬季气压系统所代替，这一过程系冷空气排除暖空气，时间较为短促，往往十数天即告完成。由于上述气压系统的交替更迭，遂使渤、黄、东海区的风场具有明显季风性质，冬季盛行偏北风，而夏季盛行偏南风。

本段中风场系根据苏联阿·伊·索尔基娜（А. И. Соркина）著“海洋风场图的绘制”一文中所介绍的方法，亦即利用地面天气图上的等压线分布来计算梯度风，经必要校正后，绘制得出风场。

计算时系根据中央气象局每日（取北京时02、14时两张）地面天气图上海面气压场的资料计算的，共计算16个月（自1958年9月至1959年12月）。计算点位置分布如图1—2所示。

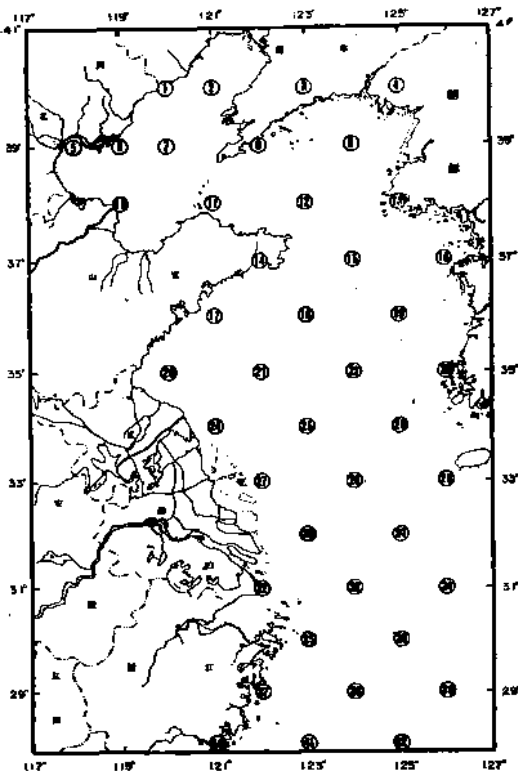


图1—2 渤、黄、东海風場計算點(代號)
位置分布

計算過程中取渤、黃、東海區平均氣溫為 13°C ，風的量值訂正到離海面8米處。

(一) 風場分布

根據上述方法所獲得的渤、黃、東海區風場分布，如“圖集”中的各月風場圖所示。

I 各海區風場分布概況

渤、黃、東海區，冬季盛行東北及北風，夏季則盛行偏南風，一般說來4、5月和9月是盛行風方向轉換月分。冬季盛行風風力五級左右，而夏季則為三級左右。在區域分布上，無論是偏北風或偏南風，東海區的平均風力均較渤、黃海強。

1. 渤海 渤海盛行風逐月變化如附表1—1所示。從這年11月至翌年2月，除1月分盛行北風外，其餘各月均盛行東北風。3—7月除7月多南風外，其餘各月均盛行西南風。8月為盛行風轉換月分，這時南風出現頻率為16%，而北風出現頻率為14%，兩者平均風力均為3.5米/秒。9月又進入盛行東北風月分，各月盛行風出現頻率均在30%左右，但在10月分卻又出現了較多的西南風，其出現頻率為26%。1958年10月亦有同樣情況。從這兩年10月的地面天氣圖上可以看出，黃海、日本海經常為高氣壓所控制，而在太行山以東，則經常出現低氣壓，這樣渤海區就處於低壓前部和高壓後部，形成了10月分盛行西南風的現象。

各月盛行風的平均風速，最低值出現在8月為3.0米/秒（西南風），而最大值出現在11月為9.7米/秒（東北風）。

2. 北黃海 盛行風的逐月變化如附表1—2所示。從10月至翌年3月均盛行偏北風，其中1、3、10三個月盛行北風，其餘各月盛行東北風。4月是盛行風轉換月分，這時南風出現頻率為24%，而西北風出現頻率亦達20%，兩者平均風力均在6.0米/秒左右。5—8月除5月盛行西南風外，其餘各月均盛行南風。9月為轉換月分，由於冷空氣排除暖空氣過程迅速，故在9月初“轉換”即已完成，這樣9月分就以東北風為主了，其出現頻率為20%，一般說來，各月盛行風出現頻率，偏北風多在35%左右，而偏南風為30%左右。

各月盛行風的平均風速，8月達最低值僅4.0米/秒，而11月達最大值為10.9米/秒。與渤海比較，則北黃海各月盛行風平均風速均大於渤海，如以最大值論，兩個海區均出現在11月，但北黃海比渤海大1.2米/秒。

3. 南黃海 盛行風逐月變化如附表1—3所示。10—12月，1—3月，除1、3月分盛行北風外，其餘各月均盛行東北風。4和5月為盛行風轉換月分，4月西北風和南風的出現頻率均為17%，兩者平均風速均在6米/秒左右。5月北風出現頻率為15%，而南風出現頻率為16%，且兩者風力均在4.5米/秒左右。6—8月均盛行南風。而到

9月仍如北黄海一样，9月初即已完成轉換過程，故9月分就盛行东北風了，其出現頻率為23%。

盛行風平均風速以冬季1月为最强（9.6米/秒），而以夏季8月为最弱（3.3米/秒）。

4. 东海 盛行風逐月变化如附表1—4所示。10—12月，1—3月均盛行东北風。4和5月为盛行風轉換月分，4月北風出現頻率為15%，而东南風出現頻率為17%，前者平均風速約8.0米/秒，而后者仅为6.0米/秒左右，5月东北風出現頻率為22%，而南風出現頻率為19%，两者平均風速均在6.0米/秒左右。6—8月为夏季盛行南風时期。9月仍与其他海区一样，在9月初即已完成轉換過程，所以这一月分仍盛行北風，其出現頻率為21%。

从盛行風平均風速看來，以1、2月为最大（11.1米/秒），而6月最小（3.9米/秒），但无论最大值或最小值均較渤、黄海强。

5. 各海区風場的比較 从图1—3可以看出，各海区風場有着以下異同之处。

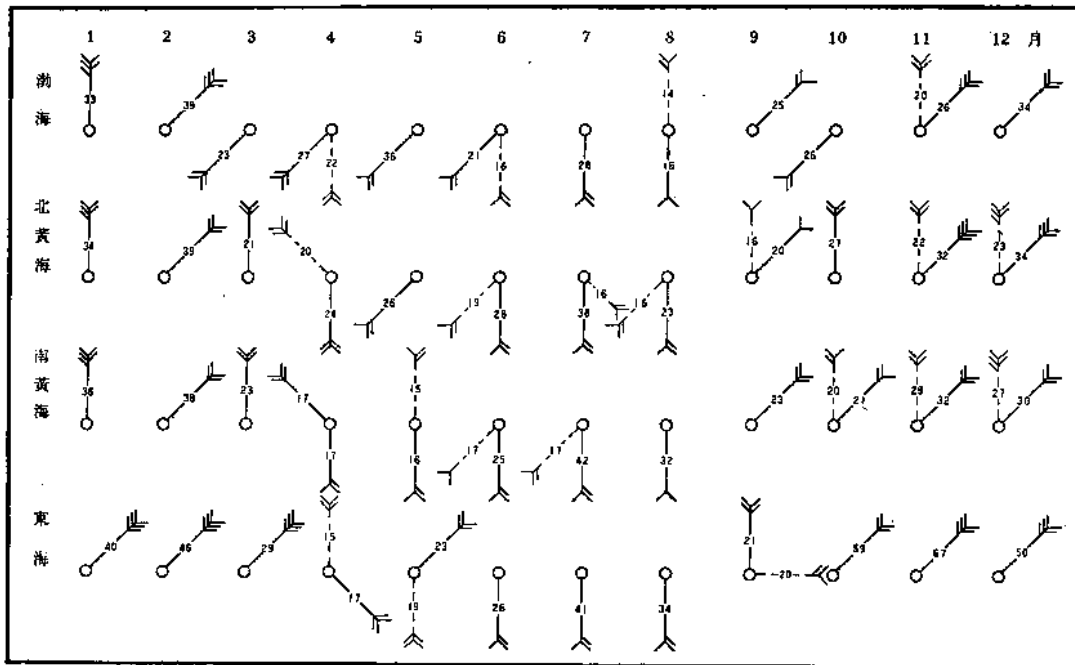


图1—3 渤、黄、东海盛行風逐月变化
〔矢标方向为盛行風方向，矢尾羽数为風力級數，矢标上數字为出現頻率。〕

(1) 盛行風向：1月分在渤海和黃海均盛行北風，但在东海盛行东北風。而2月各海区均盛行东北風。3—5月分渤海均盛行西南風，3月黃海仍盛行北風，而东海則盛行东北風。4月黃海多南和西北風，而东海則以北和东南風为主，是盛行風轉換月分。5月是夏季盛行風摆动較大月分，但北黃海多西南風，南黃海則以北風和南風为

多，而东海则多东北风和南风。6—8月除渤海8月已开始由偏南风向偏北风过渡外，各海区均盛行南风。9—12月除渤海10月盛行西南风外，其余各海区均盛行东北风。从而可以看出，只在春季诸月，各海区风向略有差异，而其他各季则大致相同。

(2) 盛行风的出現頻率：盛行风出現頻率的大小，标志着盛行风性质的明显与否。从图1—3可以看出，在渤海区，除12—2月盛行风出現頻率在30—40%之間，其余各月则均在30%以内。而在东海，除了轉換月分外，大部分盛行风出現頻率均在30%以上，10—12月都超过50%。黃海盛行风出現頻率界于渤、东海之間，可見东海盛行风較渤、黃海明显。由盛行风出現頻率可以看出，东海区冬季盛行风較夏季明显，而渤、黃海区冬夏季盛行风的頻率則較相近。

(3) 盛行风的平均風速：从附表1—1至1—4和图1—3可以看出，各海区盛行风的平均風速，在夏季均甚接近，風力为3級左右，但冬季则有由北向南逐区加强之势。如以冬季盛行风頻率最大月而論，渤海盛行风平均風速为8.9米/秒，北黃海为7.0米/秒，南黃海为7.6米/秒，东海达9.8米/秒，而一般均在5級左右。盛行風速的最大值：渤海达9.7米/秒(11月)，北黃海达10.9米/秒(11月)，南黃海达9.6米/秒(1月)，而东海达11.1米/秒(1—2月)。从冬夏季盛行风最盛月的平均風速比較看来，冬季約為夏季的2倍。

(4) 盛行风盛行期的长短：关于我国沿海地区的風場，过去研究这一問題的頗不乏人，如涂长望、黃仕松等。綜合过去研究成果，大致有这几方面的結論：(i) 我国季風的源屬，冬季为西伯利亚的极地大陆气团，盛行風向为北及东北。夏季源屬有二，一为热带海洋气团；一为赤道海洋气团，盛行南及偏南風；(ii) 夏季風于四月即出現于我国东南沿海。4、5月間西伯利亚反氣旋虽在衰退中，但仍时有寒潮南下，阻夏季風之北上，造成夏季風来回摆动既大，而前进亦极緩慢。6—8月为夏季風之鼎盛月分，至9月西伯利亚高压势力又漸恢复，迫使夏季風撤退，过程較为迅速。夏季風自开始至臻盛为时約4个月(5—8月)；(iii) 冬季風于10月即控制我国沿海一带，至翌年3月始漸衰退，盛行期約6个月；(iv) 一般說4和9月为季風轉換月分；(v) 渤海3月即出現較多西南風，并非真正夏季風的开始，而是由于局部气压变幻的結果，通常是冷高压入海，使得渤海处于高压后部的緣故。

从我們計算的1959年風場看來，与上述結論頗为相似，其区域分布及年度化已如前述。北黃海3月乃以北風为主，但亦出現較多西南風，如前述系由于該月黃海多为高压控制。东海5月多东北和南風，这正如上述所闡明的理由，乃是夏季風摆动較大的緣故。

渤、黃、东海風場中，一般說來，4月为轉換月分，5月即已开始盛行偏南風，但因偏南風来时緩慢，又时有冷空气南下，形成4、5月为偏北和偏南風的交綏期。6—8月为偏南風盛行期。9月(1959年則为8月底及9月初)亦为轉換期，10月至翌年3

月为冬季偏北風盛行期。

I 各海区平均風速的年变化

各海区平均風速是各个方位風速的平均值，从图 1—4 及附表 1—5 中可以看出：

(i) 渤海平均風速的年变化趋势較有規則。一般看来，从 1 月开始逐月减小，至 8 月分降到最低值 (2.6 米/秒)。8 月以后又逐月增大，至 12 月达最大值 (7.2 米/秒)；(ii)

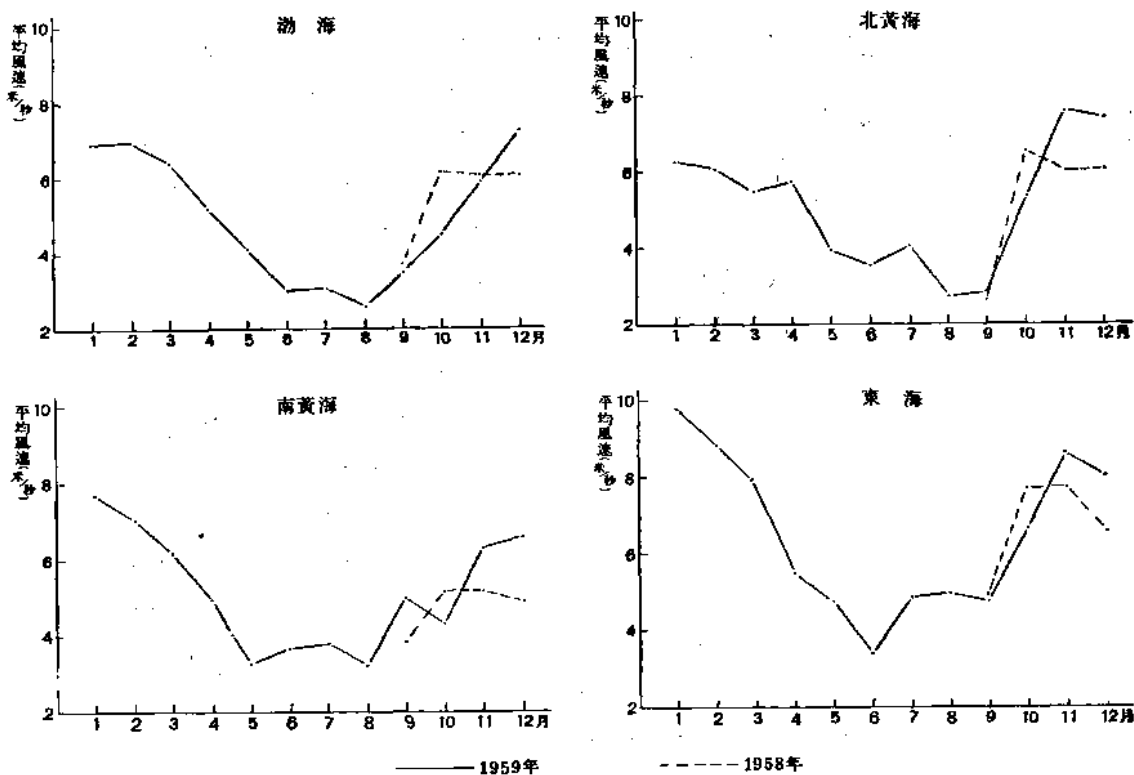


图 1—4 渤、黄、东海平均風速逐月变化

北黃海平均風速，最小值出現在 8 月 (2.7 米/秒)，而最大值出現在 11 月 (7.6 米/秒)。其年变化趋势仍有規則，但不如渤海明显。其中 7 月較上月略有增大，这是由于台風影响的結果；(iii) 南黃海平均風速，最小值出現在 8 月 (3.2 米/秒)，最大值出現在 1 月 (7.7 米/秒)。年变化曲綫仍呈冬高夏低趋势，唯 6、7 月分風速均較上月略為增大，这是由于該海区 7 月有一台風經過的緣故。同样地，9 月分亦由于台風影响而出现了平均風速增大的現象；(iv) 东海平均風速最大值出現在 1 月 (9.8 米/秒)，最小值出現在 6 月 (3.4 米/秒)，年变化曲綫仍为冬高夏低，較有規則；(v) 各海区平均風速最大值都出現在冬季盛行風平均風速最大月分，而最小值則多出現在 8 月，这是由于偏南盛行風开始衰退，而偏北盛行風即将开始，两种不同性质氣流均不强盛的緣故。东海最低值出現在 6 月，乃是因为东海区在 5 月分是偏南和偏北風交替振蕩較大月分，

6月夏季偏南风才完全控制整个海区，刚开始时其势较弱，造成了最小值出现在6月；(vi) 平均风速的年振幅，渤海为4.6米/秒，北黄海为4.9米/秒，南黄海为4.5米/秒，而东海为最大达6.4米/秒。

III 实测风与计算风比较

为了讨论所用计算方法及其所得结论的代表性问题，下面将计算结果与实测资料进行比较。

第一部分的实测资料是根据本次调查期间的海上实测记录（下称普查资料），从

1959年资料中比较150个记录，结果如图1—5中“I”曲线所示。从图中可以看出，风速差值在1.0米/秒以内者占32%左右，而差值在2.0米/秒以内者占53%，在4.0米/秒以内者占83%；风向差值在一个方位($\pm 11^{\circ}15'$)以内者占53%左右，而在两个方位以内者占77%。

第二部分的实测资料是根据天气图上的海上实测资料（下称天气图资料），以1958年9月至1959年12月中比较235个记录，结果如图1—5中“II”曲线所示。从图中可以看出，风速差值在1.0米/秒以内者占23%，2.0米/秒以内者占38%，4.0米/秒以内者占70%左右；风向差值在一个方位以内者达64%左右，两个方位以内者达84%左右。

以上述两部分比较中可以看出，风向差值多数在一个方位以内，这在风的计算中，从度数转换为方位时，就可能引起这样的差值；在风速比较上，产生差值的原因，第一部分是由于两种资料的观测高度与时间不一致（最大差半小时左右）。第二部分是由于两者观测位置不尽相同（最大差半个经度左右），同时从天气图上的风速值只能读到整数值。此外，我们计算用的天气图上的海面等压线，是根据气压分布按趋势外推的。因此，对这种瞬时值的比较，也将导致一定的误差。

总之，产生差值的原因是多方面的；但从比较结果看，风向差值不大，而风速差值虽稍大，但风速差值曲线均呈“正态”分布，这种差值在月平均风场统计过程中易于被消除。因此可以认为，月平均风场是具有一定的代表性的。

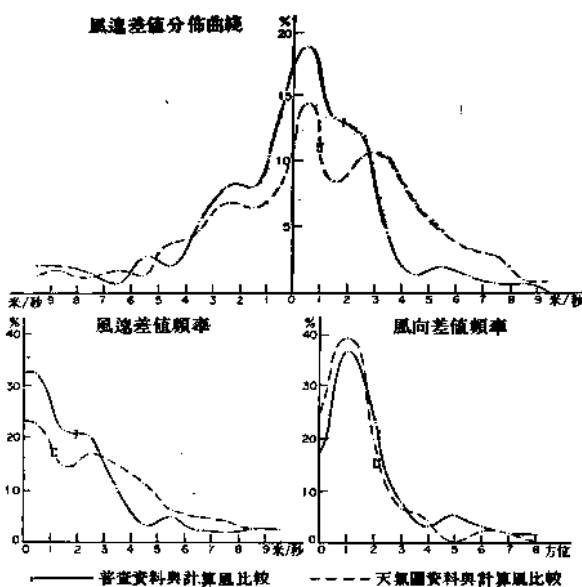


图1—5 潟黄东海实测风与计算风比较